

## 第二篇 能量传输

### 目录

#### 第八章 导热

§ 8-1 温度场.....	8-3
§ 8-2 导热的基本定律.....	8-6
§ 8-3 导热系数.....	8-7
§ 8-4 一维稳定态导热.....	8-10
§ 8-5 付立叶导热微分方程式.....	8-20
§ 8-6 二维稳定态导热.....	8-24
§ 8-7 图解分析法.....	8-34
§ 8-8 导热形状系数.....	8-35
§ 8-9 数值方法.....	8-37

#### 第九章 对流传热

§ 9-1 对流传热简化模型.....	9-1
§ 9-2 对流传热系数.....	9-2
§ 9-3 层流边界层能量方程.....	9-4
§ 9-4 热边界层.....	9-6
§ 9-5 管内层流流动.....	9-16
§ 9-6 驻体温度.....	9-19
§ 9-7 管内湍流流动.....	9-22
热的涡流扩散率.....	9-24

涡流扩散率	9-25
雷诺类似	9-26
§ 9-8 因次分析和实验数据的整理	9-29
§ 9-9 强制对流传热实验关系式	9-36
柯尔本类似和 $f$ 因子	9-40
流体横向流过单根管子	9-45
流体流过散料层	9-48

## 第十章 自然对流

§ 10-1 坚板上层流传热	10-11
§ 10-2 因次分析和相似转换	10-12
§ 10-3 实验关系式	10-15

## 第十一章 沸腾传热

§ 11-1 沸腾过程	11-1
§ 11-2 膜状沸腾	11-49
§ 11-3 泡核沸腾	11-9
§ 11-4 过渡沸腾	11-12

## 第十二章 辐射传热

§ 12-1 传热的两种基本型式	12-1
§ 12-2 黑体和辐射率	12-3
§ 12-3 能量分布和辐射能力	12-5
§ 12-4 灰体和吸收率	12-10

§ 12-5 两无限大平板之间的辐射热交换	12-11
§ 12-6 角度系数	12-15
§ 12-7 炉壁的作用	12-23
§ 12-8 辐射传热系数	12-27
§ 12-9 温度测量中的辐射误差	12-33
§ 12-10 气体辐射	12-35
§ 12-11 火焰炉内辐射热交换	12-44

### 第十三章 综合传热

§ 13-1 综合传热系数	13-1
§ 13-2 通过炉壁的热损失	13-3
§ 13-3 圆管	13-7
§ 13-4 细杆	13-8
§ 13-5 高炉碳砖炉底	13-14

### 第十四章 不稳定态导热

§ 14-1 瞬变导热	14-1
§ 14-2 牛顿型加热或冷却	14-1
§ 14-3 一维瞬变导热方程	14-10
§ 14-4 无限大平板(表面突然冷却)	14-12
§ 14-5 无限大平板(在恒温介质中加热)	14-15
§ 14-6 薄材和厚材加热的概念	14-27
§ 14-7 半无限大固体	14-28

§ 14-8	长时间值和短时间值的解.....	14-37
§ 14-9	数 值 方 法.....	14-43
§ 14-10	图解分析法.....	14-49
第十五章 凝固传热		
§ 15-1	砂 模.....	15-1
§ 15-2	全层板.....	15-8
§ 15-3	凝固传热积分解法.....	15-25
§ 15-4	连续铸锭传热积分解法.....	15-29
第十六章 热交换器计算原理		
§ 16-1	热 交 换 器.....	16-1
§ 16-2	基 本 方 程 式.....	16-2
§ 16-3	热 交 换 器 效 能.....	16-5
§ 16-4	气 体 - 固 体 料 块 逆 流 换 热.....	16-8
§ 16-5	蓄 热 室.....	16-12
§ 16-6	填 充 床.....	16-18

# 第十一章 沸腾传热

## §11-1 沸腾过程

前两章讨论的是无相变时的对流传热，而相变时的对流传热则要复杂得多。液体沸腾时的传热是无相变的对流传热的一种。

沸腾液体可以盛在一大容器内，器皿装有水平或竖直的板或管子，热量即从这些沉没固体的表面传入液体，以供给液体沸腾汽化所需。或者，液体可以借自然对流或强制对流的方式通过加热的管子内部，热量即通过壁壁传给液体，而液体主要内沸腾。这两种情况的传热规律并不相同，后一种情况在化工、热工中用得较多。

在讨论沸腾过程的基本特点时，让我们考察液体从一个沉没的加热凸上蒸发的过程。例如在某些类型的强制循环设备里，液体主体的温度低于其沸点，但加热凸的温度则高于液体的沸点。于是，在加热凸上出现汽泡；当这些汽泡扩大到某一特定尺寸时，就脱离加热凸而进入液体。然而，当它们行经了一小段路程后，便被液体主体所吸收掉。虽然，这些汽泡是在主体尚未达到沸腾温度的液体中凝结了。这种型式的沸腾称为过冷沸腾或局部沸腾。在过冷沸腾中，沸腾液流被限制在液凸以下，因而不需要有排气空间来吸收沸腾时所形成的蒸气。

反之，如果液体主体的温度达到了沸点，则在沉没的加热凸上产生的汽泡，在液体主体中上升，走过全部路程而到达液凸，然后脱离液凸而进入液凸上的排气空间。这种型式的沸腾称为具有排气的沸腾或泡核沸腾，此时离开液凸的蒸气与处于沸腾温度下的液体达到平衡状态。

显然，沸腾过程同时还受到加热凸附近的液体运动的影响。意

前已提到的那样，如果加热凸是沉浸在盛装液体的大容器之中，那末液体的运动仅仅是由于自然对流或由于汽泡的搅动作用而引起。这种类型的沸腾称为池内沸腾或大空间沸腾。在另一种情况下，像前已提到过的那样，当液体以相当大的速度流过管子内部时，如果同时在壁上发生沸腾，那末液体的流速将影响汽泡的扩大和脱离。在这种场合下的沸腾称为强迫或强制对流沸腾。

在这~章，我们先讨论一~饱和液体沸腾。

为了说明液体池内饱和沸腾的过程，将一根电热丝水平地沉浸在~池饱和液体中（液体处于饱和温度 $t_{\text{饱和}}$ 下），并逐步提高电热丝的温度。图(11-1)为用这样的实验得到的数据：当表凸温度 $t_w$ 等于饱和温度时，由于自然对流的作用，过热液体上升至自由液面，并进行循环流动。这时的传热机理为自然对流，可以直接应用与10-3所述的自然对流传热公式。进一步增加温度得 $\Delta t$ （即表凸温度 $t_w$ 与饱和温度 $t_{\text{饱和}}$ 之差），在电热丝表面的某些点上，生成蒸气泡，但大部分蒸气泡的体积很小，不能上升，只有小部分体积较大的蒸气泡例外。这是图(11-1)中所示的阶段Ⅲ的情形。在阶段Ⅲ，温度降 $\Delta t$ 很大，在电热丝的表凸上生成大大稳定的蒸气泡，而且数目也很多，它们一起上升到液面。这就是泡核沸腾阶段。这时候，蒸气泡一边迅速生成和脱离表凸而上升，新鲜液体一边流向蒸气泡原来的位置，于是液体内部产生强烈的搅动作用，大大地强化了传热，直至图(11-1)中的O点为止。在这一点上，热通量具有最大值，对处于O点的温度降常称<sup>1</sup>为临界温度降。超过最大热通量后，在电热丝的表凸上便开始生成一层蒸气膜，它不断破裂，又不断生成，也就是说蒸气膜还不是很稳定的。这就是过渡沸腾(阶段Ⅳ)，由于蒸气膜具有隔热的特性，热通量变小。而且，随着温度降 $\Delta t$ 的增大，蒸气膜变厚，故热通量反而随着温度降 $\Delta t$ 的增大而不断变小。当温度降 $\Delta t$ 增大到约 $220^{\circ}\sim 555^{\circ}\text{C}$

时，生成稳定的蒸气膜，电热丝表面已为几乎是静止的蒸气膜所覆盖，只是蒸气膜的外形仍会改变而已。所以热量大部分需要借蒸气膜方式重新传递。这就是膜状沸腾（仰视图）。这时候，蒸气膜和液体的交界凸上，蒸气泡缓慢地而又有规则地生成，并脱离交界凸而上升。当温度降  $\Delta t$  增大到约  $666^{\circ}\text{C}$  以上时，穿过蒸气膜的辐射愈来愈显著，传热速率又随着温度降  $\Delta t$  的增大而更大。

对应于最小热通量的温度降，常称为未登夫罗断特点，是稳定膜状沸腾的开始点。

应当指出，图(11-1)所示的沸腾曲线，如果是用蒸气加热的表凸来作实验，是不难得到的；如果用电热，则难以得到阶段IV。随着电能的增加，热通量便增加，依阶段III中的温度降  $\Delta t$  增大，当到达最大热通量并稍微超过时，沸腾过程不能传递相当于电能输入的热量。结果导致电热丝的温度上升，而温度上升又反而进一步减少传热量。这样一来，除非减小电能的输入，否则电热丝的温度愈来愈高，至到达 b 点之前就已熔化（大部分金属如此）。所以，

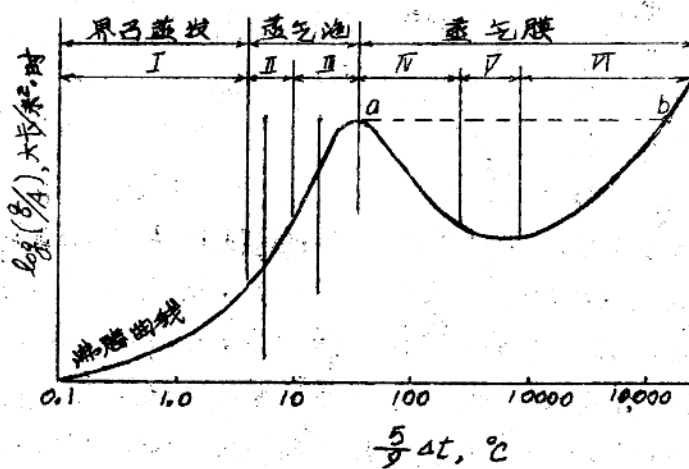


图 11-1 池内沸腾数据

I—自然对流；II—泡核沸腾（蒸气泡冷凝）

III—泡核沸腾（蒸气泡上升至界面）；IV—过渡沸腾

V—稳定膜状沸腾；VI—辐射开始起作用。

当在沸腾阶段的最大热流率为 $Q_{\max}$ 时，有时也称为临界点。

由于膜状沸腾时温度降大而传热速率小，温度降没有得到有效利用，故这种沸腾传热通常不为工业所采用。~~传热设备的设计和操作应尽可能小于临界温度降以下进行。~~

综上所述，可知沸腾过程具有极其复杂的性质。由此可以预料，不能只用一个方程式，它能够将图(11-1)中全部沸腾区域的数据都联系起来。所以，对于沸腾传热的过程，~~应该对各沸腾区域分别进行研究~~。正由于沸腾过程的复杂性质，长时间内依得沸腾传热的知识局限于一系列的经验数据上。近年来，基于对沸腾过程做了大量的实验研究，特别是一些对沸腾过程获得了供实际过程得以充分简化的模型，这就使得因次分析法和分析解法可以应用于沸腾过程。预料在不久的将来，对于许多场合下的沸腾传热，也可以象前已所讨论过的其他方式的传热那样，通过分析加以确定。

## §11-2 膜状沸腾

在膜状沸腾阶段，连续蒸气膜内传热的传热系数和传热速率比其他沸腾阶段要高得多。下面，我们用一个简化模型来推求膜状沸腾时的传热系数。

设有一块竖板沉浸在处于饱和温度下的液体之中，如图(11-2)所示。竖板的温度保持为 $T_w$ ，沿着竖板向上蒸气膜作稳定的层流流动，蒸气膜的厚度为 $\delta$ ，在蒸气膜的边缘上液体的温度为其饱和温度 $T_s$ 。图中并标明坐标系统。假定蒸气作不可压缩的稳定流动；即在蒸气膜上( $y=\delta$ 处)蒸气流动时的切应力为零。还假定蒸气膜内的温度分布线为一直线。对图(11-2)中所示的蒸气微元作能量平衡，按这与 $x$ 和 $y$ 之间的、厚度为 $dx$ 的蒸气微元共速上升时，而受浮力与本身重力之差等于运动时的剪切应力，得到

$$\rho g(\delta-y)dx - \rho g(\delta-y)dx = -\mu \frac{dy}{dx} dx \quad (11-1)$$

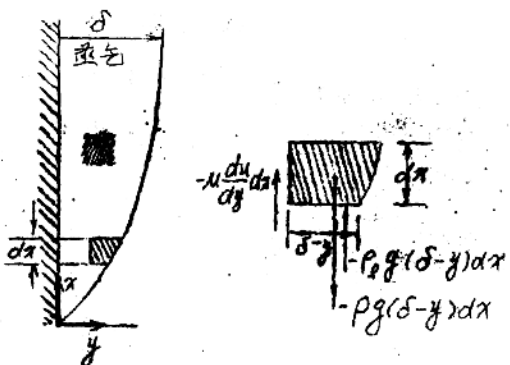


图 11-2 蒸气膜模型

由此得到蒸气膜内速度梯度值的表达式：

$$-\frac{\mu}{\delta} \frac{du}{dy} = g(P_0 - P)(\delta - y)$$

积分上式，并应用边界条件

$$\text{在 } y=0 \text{ 处, } u=0$$

则得蒸气膜内速度分布线为

$$u = \frac{g(P_0 - P)}{\mu} \left( \delta y - \frac{1}{2} y^2 \right) \quad (11-2)$$

根据式(11-2) 算出蒸气的平均速度  $U_m$

$$U_m = \frac{1}{\delta} \int_0^\delta u dy = \frac{g(P_0 - P)}{3\mu} \frac{\delta^2}{2} \quad (11-3)$$

这里假定蒸气微元在垂直于纸张平凸的方向上深度为一单位。

下凸，对宽度为  $dx$ 、厚度为  $\delta$  和具有单位浓度的微元蒸气无法作能量平衡。而已假定，在蒸气膜内速度呈线性分布，故在壁凸  $dx$  的凸面上所传递的热量

$$q_x = -k dx \left( \frac{\partial t}{\partial y} \right)_{y=0} = k dx \frac{t_w - t_{地和}}{\delta} \quad (11-4)$$

这些热量等于液体汽化为气体并使这气体过热到它的平均温度  $t$  时所需的热量，即

$$k dx \frac{t_w - t_{地和}}{\delta} = \left[ H_v + \frac{1}{\rho u_m \delta} \int_0^\delta \rho u C_p (t - t_{地和}) dy \right] dw$$

其中  $H_v$  为汽化潜热， $dw$  为在  $dx$  宽度上所产生蒸气质量。将式(11-2) 和式(11-3) 代入上式，积分后得到

$$k dx \frac{t_w - t_{地和}}{\delta} = H_v \left[ 1 + \frac{3}{8} \frac{C_p(t_w - t_{地和})}{H_v} \right] dw$$

式中右端  $dW$  而凸的查尔斯顿有效汽化热为  $H'_v$ 。

较详细的能量传输分析，得到了与这一  $H'_v$  值相应的不同的数值。  
·布罗姆恩采用如下定义的有效汽化热

$$H'_v = H_v \left[ 1 + \frac{0.4 C_p (t_w - t_{地和})}{H_v} \right]^2 \quad (11-5)$$

着想到这一点，能量平衡项为如下的形式：

$$k dx \frac{t_w - t_{地和}}{\delta} = H'_v dW.$$

应该注意，当蒸气从不上升到  $x + dx$  时，由于额外的汽化潜热加入，蒸气膜就从  $\delta$  增大到  $\delta + d\delta$ 。在  $x$  到  $x + dx$  之间所加入的汽化潜热为  $dW$ ，它等于

$$\begin{aligned} \frac{d}{dx} (\rho \delta u_m) dx &= \frac{d}{dx} \left\{ \frac{\rho (P_e - P) g \delta^3}{3 \mu} \right\} dx \\ &= \frac{d}{d\delta} \left\{ \frac{\rho (P_e - P) g \delta^3}{3 \mu} \right\} \frac{d\delta}{dx} dx \\ &= \frac{\rho (P_e - P) g \delta^2 d\delta}{\mu} \end{aligned}$$

因此，能量平衡式写成

$$k dx \frac{t_w - t_{地和}}{\delta} = H'_v \frac{\rho (P_e - P) g \delta^2 d\delta}{\mu} \quad (11-6)$$

或

$$\frac{N k (t_w - t_{地和})}{H'_v g \rho (P_e - P)} dx = \delta^2 d\delta$$

将上式积分并应用边界条件

$$在 x=0 处 \quad \delta=0$$

则得到  $\delta$  的表达式

$$\delta = \left[ \frac{4 N k x (t_w - t_{地和})}{H'_v g \rho (P_e - P)} \right]^{1/4} \quad (11-7)$$

现在将传热系数写成

$$k dx (t_w - t_{地和}) = - R dx \frac{t_{地和} - t_w}{\delta}$$

或

$$h = \frac{k}{\delta}$$

故由式(11-7), 局部传热系数为

$$h_x = \left[ \frac{H_u g P (P_e - P) k^3}{4 \mu \pi (t_w - t_{饱和})} \right]^{1/4} \quad (11-8)$$

平均传热系数可沿各块壁板厚度取平均得到:

$$\bar{h}_L = \frac{1}{L} \int_0^L h_x dx = \frac{4}{3} h_x = L \quad (11-9)$$

也可以认为, 将L置换成 $\pi D/2$ 后, 式(11-9)可应用于水平圆管外凸的膜状沸腾, 这时

$$\bar{h}_D = 0.845 \left[ \frac{H_u g P (P_e - P) k^3}{\mu D (t_w - t_{饱和})} \right]^{1/4} \quad (11-10)$$

布罗姆恩对于水平圆管也得到了上述表达式, 但系数有所不同。他用分析方法确定这一系数在0.512到0.724之间, 而不是0.845, 实验值则为0.62。这样, 对于水平圆管外凸膜状沸腾的布罗姆恩方程式为

$$\bar{h}_D = 0.62 \left[ \frac{H_u g P (P_e - P) k^3}{\mu D (t_w - t_{饱和})} \right]^{1/4} \quad (11-11)$$

其中所有蒸气的特性值应按蒸气的算术平均温度计算。

在许多场合, 膜状沸腾涉及大的温差, 即 $(t_w - t_{饱和})$ 大, 故辐射传热占一定的份额。由于这一额外的辐射热流, 使蒸气膜的厚度增加, 因而减少了通过蒸气膜的导热。对于这些情况, 布罗姆恩提出总传热系数为

$$h = \bar{h}_D \left( \frac{\bar{h}_r}{h} \right) + h_r \quad (11-12)$$

其中 $h_r$  为辐射传热系数

$$h_r = \frac{5 \varepsilon_w (T_w^4 - T_{饱和}^4)}{t_w - t_{饱和}} \quad (11-13)$$

式中： $T$  —— 绝对温度；

$t$  —— 摄氏温度；

$\epsilon_w$  —— 物体的固体表面辐射率；

$\sigma$  —— 斯蒂芬—玻尔兹曼常数，其值为  $4.88 \times 10^{-8}$  大卡/米<sup>2</sup>·时·K<sup>4</sup>

关于辐射传热系数见第三章详细讨论。

例：一直径为 0.0125 米的钢棒，其共温度为  $815^{\circ}\text{C}$  时进入  $100^{\circ}\text{C}$  的水中。

钢棒为放平放置。

求初始时的传热系数。

解：对于  $100^{\circ}\text{C}$  的水，应用式(11-11)：

$$\overline{h}_D = 0.62 \left[ \frac{H'_w g p (p_e - p)}{MD(t_w - t_{\text{饱和}})} \right]^{1/4}$$

$$H'_w = H_w \left[ 1 + \frac{0.4 Cp(t_w - t_{\text{饱和}})}{H_w} \right]^2$$

(由“蒸汽表”可查得水和蒸汽的许多性质) 在 1 大气压和  $100^{\circ}\text{C}$

$$H_w = 539 \text{ 大卡/公斤}, \quad p_e = 958 \text{ 公斤/米}^3.$$

对于水蒸气，在 1 大气压和温度  $(815+100)/2 = 458^{\circ}\text{C}$  时，

$$C_p = 0.502 \text{ 大卡/公斤}\cdot^{\circ}\text{C},$$

$$\rho = 0.301 \text{ 公斤/米}^3,$$

$$k = 0.0506 \text{ 大卡/米}\cdot\text{时}\cdot^{\circ}\text{C},$$

$$M = 0.0923 \text{ 公斤/米}\cdot\text{时},$$

$$H'_w = 539 \left[ 1 + \frac{(0.4)(0.502)(815-100)}{539} \right]^2 = 865 \text{ 大卡/公斤}$$

$$\overline{h}_D = 0.62 \left[ \frac{(865)(9.81 \times 3600^2)(0.301)(958-0.301)(0.0506)^3}{(0.0923)(0.0125)(815-100)} \right]^{1/4}$$

$$= 165 \text{ 大卡/米}^2\cdot\text{时}\cdot^{\circ}\text{C}.$$

不计辐射的影响， $\epsilon_w = 0.78$

$$\begin{aligned}
 h_r &= \frac{6E_N(T_w^4 - T_{\text{饱和}}^4)}{T_w - T_{\text{饱和}}} \\
 &= \frac{4.88 \times 0.78 (10.88^4 - 3.73^4)}{(815 - 100)} \\
 &= 73.5 \text{ 大卡/米}^2 \cdot \text{时} \cdot ^\circ\text{C}
 \end{aligned}$$

然后，用式(11-12)求总传热系数：

$$\begin{aligned}
 k &= \bar{h}_D \left( \frac{\bar{h}_D}{h} \right) + h_r = 165 \left( \frac{165}{h} \right) + 73.5 \\
 h &= 205 \text{ 大卡/米}^2 \cdot \text{时} \cdot ^\circ\text{C}
 \end{aligned}$$

### § 11-3 泡核沸腾

泡核沸腾的传热速率比膜状沸腾为高，因为热阻集中于液相内，汽泡的搅动作用使液相中产生湍流，从而大大降低了液相热阻。可见这种传热机理涉及汽泡在金属凸上的形成、扩大和脱离金属凸，情况是很复杂的。总的说来，汽泡的生成和解脱强度愈大，传热速率也就愈大。

由此推论而去，影响泡核沸腾传热原故有许多因素，包括液体的粘性、加热面的类型和表面状态、液体的成分和纯度、搅动的有无、温度或压力等。其中某些因素的微小变化会造成传热系数很大的变化。

基于对沸腾机理的考虑，可预测某些因素定性的影响。例如，粗糙凸为汽泡的生成提供了光滑凸所不能提供的汽化核心形成点，因此粗糙凸的传热原故通常比光滑凸要大。实验证明，在泡核沸腾阶段，虽得到相同的热通量，新近被磨光或抛光的金属凸往往需要较大的温度降 $\Delta t$  ( $\Delta t = t_w - t_{\text{饱和}}$ )。这也许是由于金属凸上减少了细微氧化所造成的凹凸尺寸，因而需要液体更大的过热才能获得同样的汽泡生成率。

又如，溶解于液体中的气体或空气，其远低于正常饱和温度下就游离而走，象汽泡那样地搅动液体。吸附在加热凸上的气体或空

气，不是有助于汽泡的生成，就是有助于汽泡脱离加热凸。这样，含气液体的传热系数往往大于去气的液体。实验数据证实了这一点。

如上所述，在泡核沸腾阶段，泡池的搅动作用是传热过程的决定性因素。此外还知道，在此沸腾阶段内，大部分热量是由加热凸流入液体，然后由液体流入汽泡的。这就表明，可以忽略加热凸的传热性质看成是液体内的由汽泡运动所造成的强制对流传热，而其传热速率是由于液体的对流增加所致。考虑到这一点，罗塞瑙认为从加热凸传给被搅动液体的热量或传热系数，应当用类似于单相强制对流传热的关系式描述，即

$$N_{ub} = N_{ub}(Re_b, Pr_p) \quad (11-14)$$

其中无因次数被定义为

$$N_{ub} = \frac{(g/A)_w D_b}{(t_w - t_{\text{饱和}}) k_p} = \frac{h_p D_b}{k_p} \quad (11-14a)$$

$$Re_b = \frac{G_b D_b}{\mu_e} \quad (11-14b)$$

式中， $D_b$  为汽泡离开加热凸时的直径， $G_b$  为单位加热凸所生成的蒸气（或汽泡）速率。以这些无因次数为根据，罗塞瑙将泡核池内沸腾的实验数据联系起来，得到了如下的关系式：

$$\frac{C_{pp}(t_w - t_{\text{饱和}})}{H_v} = C_{sf} \left[ \frac{g/A}{\mu_p H_v} \sqrt{\frac{\sigma}{g(p_e - p)}} \right]^{1/3} Pr^{1/7} \quad (11-15)$$

式中： $C_{pp}$  — 液体的比热，大卡/公斤·°C；

$t_w - t_{\text{饱和}}$  — 温度差，°C；

$H_v$  — 汽化潜热，大卡/公斤；

$g/A$  — 单位凸液热通量，大卡/米<sup>2</sup>·时；

$\mu_p$  — 液体在饱和温度下的粘度，公升/公斤·时；

$\sigma$  — 液体—蒸气界凸的表面张力，公斤·米/米<sup>2</sup>。

$P_s$  — 饱和液体的密度，公斤/米<sup>3</sup>；

$\rho$  — 饱和蒸气的密度，公斤/米<sup>3</sup>；

$P_{fr}$  — 饱和液体的福朗特尔数；

$C_{sf}$  — 实验常数。

图(11-3) 表明罗塞瑞方程(式11-15)池内沸腾数据的实验关系；对于水-铂的组合， $C_{sf}$ 为0.013。表(11-1)列举其他的液体-金属凸的 $C_{sf}$ 值。

表 11-1

液体-加热凸	$C_{sf}$
水-铂	0.013
水-铜	0.013
水-镍	0.006
水-黄铜	0.006
$CCl_4$ -铜	0.013
苯-铝	0.010
正戊烷-铝	0.015
乙醇-铝	0.0027
异丙醇-铜	0.0025
35% $K_2CO_3$ -铜	0.0054
50% $K_2CO_3$ -铜	0.0027
正丁醇-铜	0.0030

式(11-15)可用于除了水平金属丝以外的其他形状的金属凸。

一般说来，几何形状不是决定池内沸腾传热的主要因素。这一点是可以预料到的，因为这种传热主要决定于加热凸凸度，而不是决定于表凸形状。

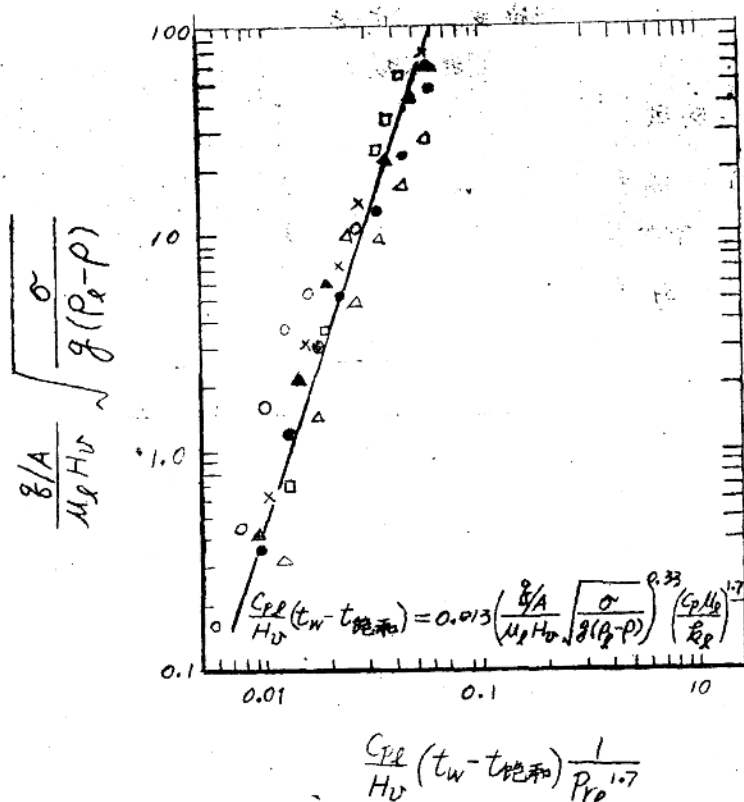


图 11-3 池内沸腾实验数据

#### §11-4 过渡沸腾

在前两书中，已研究过泡核沸腾和稳定膜状沸腾，我们可以通过这些结果来描述这两个区域的热通量。而已述及，在这两个阶段之间，存在着一个过渡阶段，此时部分加热面为汽泡所覆盖，而部分则为汽膜所覆盖，在这一区域内的热通量和传热系数是随着温度降的增加而减小的。这是一个转变阶段，又可称为转变沸腾或部分膜状沸腾。

我们可以用烧毁点上在最大热通量（不致损坏烧毁点） $(\dot{Q}/A)_{max}$ 时应于雷利夫罗伊特点上地热通量  $(\dot{Q}/A)_{min}$  来描述这个转

变阶段。转变阶段中的热通量即介于这两者之间。

$(\dot{Q}/A)_{max}$  的大小看来对于加热凸的表面加工状况比较不敏感，因为此时主要为沸腾现象发生在离开固体凸的蒸气-液体分界面上。当接近临界热通量时，以波动形式进入液体的蒸气量增加，从而使液体流向固体凸的有效凸积减少。因此，液体和蒸气之间的相对速度就增加，很快蒸气-液体分界面变得不稳定。这就是最大热通量时的情况。应用这一简化模型，久伯导出了如下的饱和液体池内沸腾的最大热通量表达式：

$$\frac{(\dot{Q}/A)_{max}}{\rho H_v} = \frac{\pi}{24} \left( \frac{85(P_e - P)}{P^2} \right)^{1/4} \left( \frac{P_e}{P_e + P} \right)^{-\frac{1}{2}} \dots \dots \dots \quad (11-16)$$

图(11-4)将这个方程与利用各种流体进行研究时得到的实验结果作了比较。图中各数据很吻合。这一点似乎表明，加热凸的表面状态不影响烧毁点处的传热。

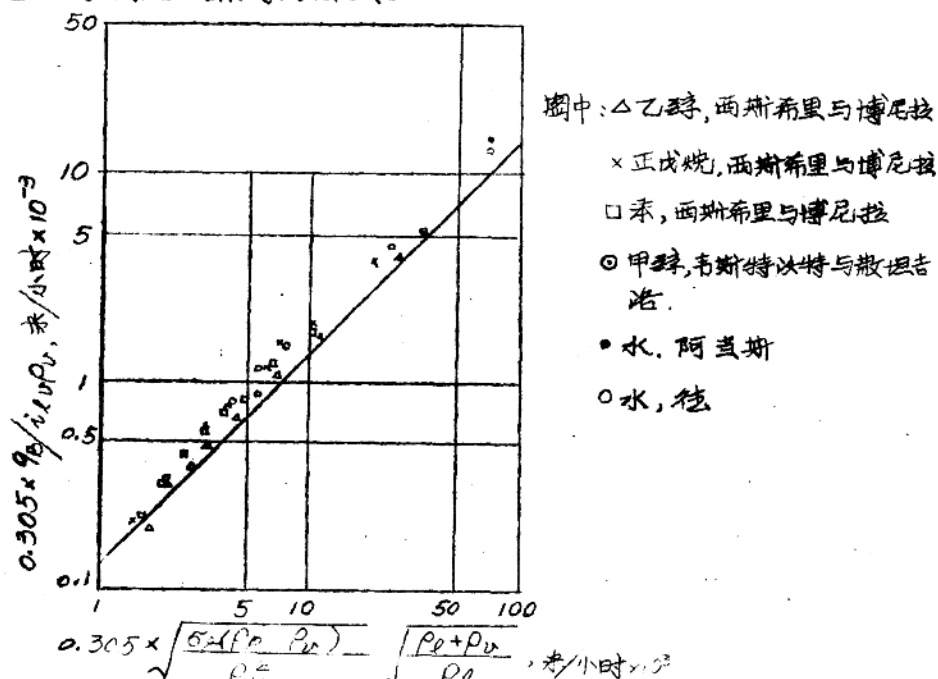


图11-4 烧毁点热通量的关系式与实验结果的比较